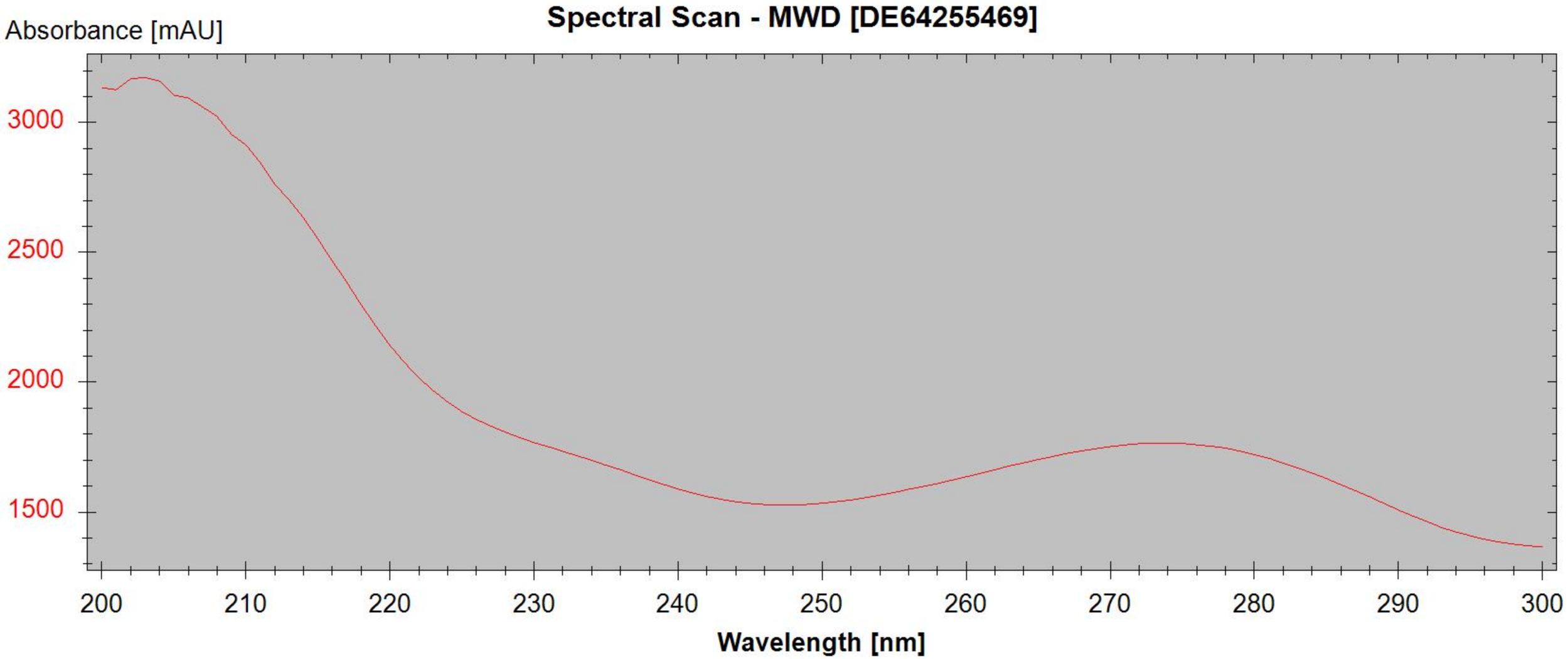
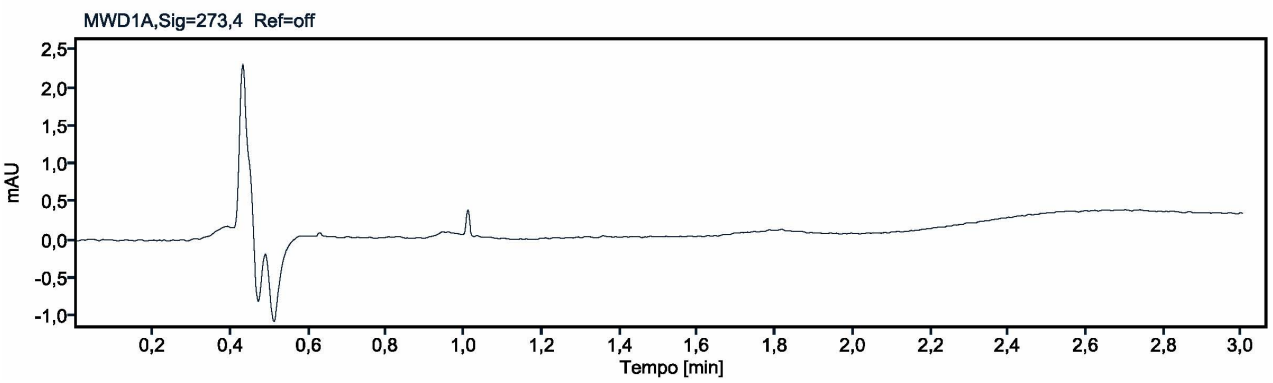

Spectral Scan - MWD [DE64255469]
Absorbance [mAU]
3000
2500
2000
1500
200
210
220
230
240
250
260
270
280
290
300
Wavelength [nm]

[nm],[mAU]

| | | |
|---|---|---|
| 200,00,3133,960 | 245,00,1533,008 | 290,00,1507,697 |
| 201,00,3126,238 | 246,00,1529,007 | 291,00,1484,530 |
| 202,00,3168,454 | 247,00,1526,680 | 292,00,1463,046 |
| 203,00,3173,120 | 248,00,1526,917 | 293,00,1440,122 |
| 204,00,3159,534 | 249,00,1529,461 | 294,00,1423,237 |
| 205,00,3104,973 | 250,00,1533,973 | 295,00,1408,362 |
| 206,00,3093,824 | 251,00,1540,219 | 296,00,1394,758 |
| 207,00,3059,441 | 252,00,1546,364 | 297,00,1384,427 |
| 208,00,3023,086 | 253,00,1555,197 | 298,00,1376,401 |
| 209,00,2953,900 | 254,00,1565,164 | 299,00,1369,951 |
| 210,00,2914,132 | 255,00,1575,099 | 300,00,1365,268 |
| 211,00,2845,437 | 256,00,1587,802 | |
| 212,00,2762,514 | 257,00,1597,952 | |
| 213,00,2701,820 | 258,00,1609,921 | |
| 214,00,2632,652 | 259,00,1622,735 | |
| 215,00,2550,969 | 260,00,1635,792 | |
| 216,00,2466,754 | 261,00,1648,815 | |
| 217,00,2385,469 | 262,00,1663,056 | |
| 218,00,2297,707 | 263,00,1677,809 | |
| 219,00,2217,861 | 264,00,1689,575 | |
| 220,00,2141,721 | 265,00,1702,490 | |
| 221,00,2076,119 | 266,00,1713,589 | |
| 222,00,2017,068 | 267,00,1726,276 | |
| 223,00,1967,503 | 268,00,1735,075 | |
| 224,00,1924,392 | 269,00,1743,896 | |
| 225,00,1886,146 | 270,00,1751,775 | |
| 226,00,1856,033 | 271,00,1758,251 | |
| 227,00,1831,058 | 272,00,1763,068 | |
| 228,00,1807,819 | 273,00,1764,205 | |
| 229,00,1786,760 | 274,00,1765,675 | |
| 230,00,1767,274 | 275,00,1764,007 | |
| 231,00,1751,537 | 276,00,1758,760 | |
| 232,00,1733,327 | 277,00,1753,394 | |
| 233,00,1716,361 | 278,00,1746,577 | |
| 234,00,1699,074 | 279,00,1734,417 | |
| 235,00,1680,035 | 280,00,1720,375 | |
| 236,00,1663,192 | 281,00,1707,294 | |
| 237,00,1642,403 | 282,00,1688,362 | |
| 238,00,1623,591 | 283,00,1669,473 | |
| 239,00,1606,101 | 284,00,1650,139 | |
| 240,00,1588,766 | 285,00,1629,082 | |
| 241,00,1573,492 | 286,00,1605,051 | |
| 242,00,1559,650 | 287,00,1582,843 | |
| 243,00,1549,027 | 288,00,1558,526 | |
| 244,00,1539,522 | 289,00,1532,967 | |

# Relatório de Resumo da Sequência

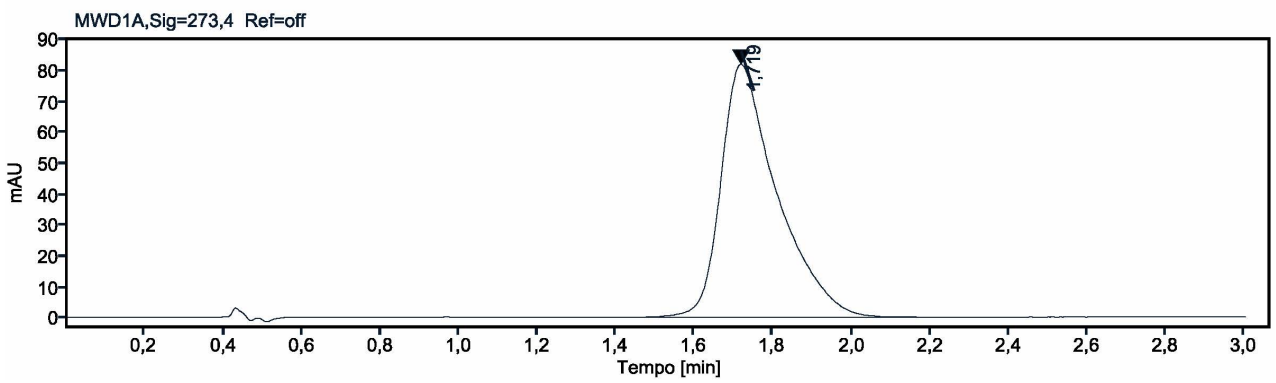
| | | | |
|---|---|---|---|
| **Arquivo de dados:** | C:\CDSProjects\Qualificação\Results\LC_MWD-2022-05-24 16-24-19-03-00.rslt\Branco 01.dx | | |
| **Nome da amostra:** | Branco 01 | | |
| **Descrição:** | | | |
| **Quantidade de amostra:** | 0,000 | **Tipo de amostra:** | Amostra |
| **Instrumento:** | LC_MWD | **Localização:** | 1 |
| **Data da injeção:** | 2022-05-24 16:25:23-03:00 | **Injeção:** | 1 de 1 |
| **Método de aquis.:** | Qualificação.amx | **Volume de injeção:** | 10,000 |
| **Método de análise:** | GC_LC Quantitativo_DefaultMethod.pmx | **Operador de aquis.:** | SISTEMA |
| **Última alteração:** | 2022-05-25 12:21:51-03:00 | | |



# Relatório de Resumo da Sequência

Agilent

| | | | |
|---|---|---|---|
| **Arquivo de dados:** | C:\CDSProjects\Qualificação\Results\LC_MWD-2022-05-24 16-24-19-03-00.rslt\PCIN 01.dx | | |
| **Nome da amostra:** | PCIN 01 | | |
| **Descrição:** | | | |
| **Quantidade de amostra:** | 0,000 | **Tipo de amostra:** | Amostra |
| **Instrumento:** | LC_MWD | **Localização:** | 6 |
| **Data da injeção:** | 2022-05-24 16:29:22-03:00 | **Injeção:** | 1 de 1 |
| **Método de aquis.:** | Qualificação.amx | **Volume de injeção:** | 10,000 |
| **Método de análise:** | GC_LC Quantitativo_DefaultMethod.pmx | **Operador de aquis.:** | SISTEMA |
| **Última alteração:** | 2022-05-25 12:21:51-03:00 | | |

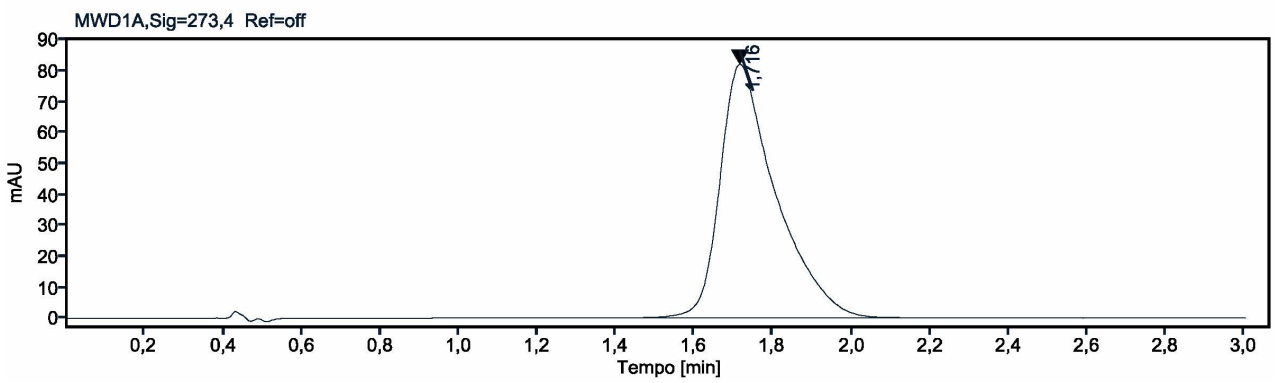



**Sinal:** MWD1A,Sig=273,4 Ref=off

| RT [min] | Tipo | Largura [min] | Área | Altura | Área% | Nome |
|---|---|---|---|---|---|---|
| 1,719 | BV | 0,8431 | 811,8787 | 81,7713 | 100,0000 | |
| | | **Soma** | **811,8787** | | | |

# Relatório de Resumo da Sequência

| | | | |
|---|---|---|---|
| **Arquivo de dados:** | C:\CDSProjects\Qualificação\Results\LC_MWD-2022-05-24 16-24-19-03-00.rslt\PCIN 02.dx | | |
| **Nome da amostra:** | PCIN 02 | | |
| **Descrição:** | | | |
| **Quantidade de amostra:** | 0,000 | **Tipo de amostra:** | Amostra |
| **Instrumento:** | LC_MWD | **Localização:** | 6 |
| **Data da injeção:** | 2022-05-24 16:33:19-03:00 | **Injeção:** | 1 de 1 |
| **Método de aquis.:** | Qualificação.amx | **Volume de injeção:** | 10,000 |
| **Método de análise:** | GC_LC Quantitativo_DefaultMethod.pmx | **Operador de aquis.:** | SISTEMA |
| **Última alteração:** | 2022-05-25 12:21:51-03:00 | | |



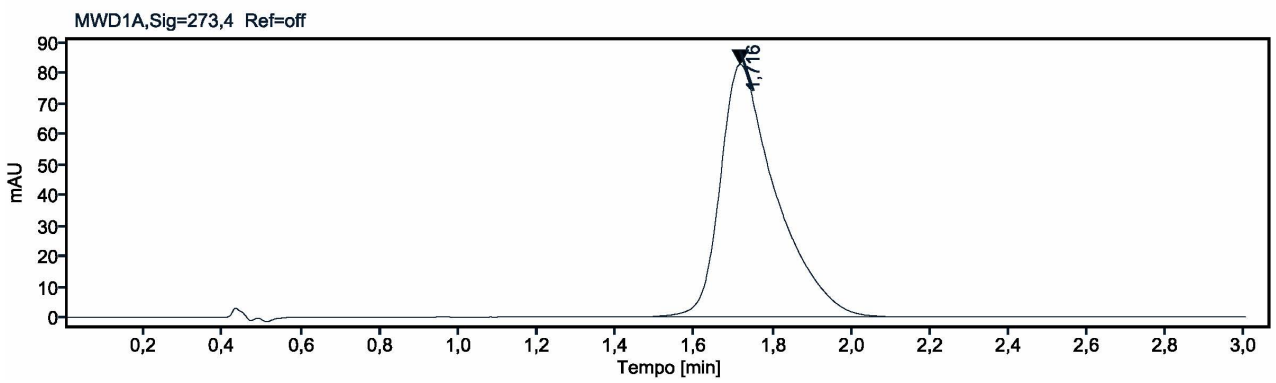

**Sinal:** MWD1A,Sig=273,4 Ref=off

| RT [min] | Tipo | Largura [min] | Área | Altura | Área% | Nome |
|---|---|---|---|---|---|---|
| 1,716 | BB | 0,8581 | 811,2257 | 82,0173 | 100,0000 | |
| | | **Soma** | **811,2257** | | | |

# Relatório de Resumo da Sequência

Agilent

| | | | |
|---|---|---|---|
| **Arquivo de dados:** | C:\CDSProjects\Qualificação\Results\LC_MWD-2022-05-24 16-24-19-03-00.rslt\PCIN 03.dx | | |
| **Nome da amostra:** | PCIN 03 | | |
| **Descrição:** | | | |
| **Quantidade de amostra:** | 0,000 | **Tipo de amostra:** | Amostra |
| **Instrumento:** | LC_MWD | **Localização:** | 6 |
| **Data da injeção:** | 2022-05-24 16:37:17-03:00 | **Injeção:** | 1 de 1 |
| **Método de aquis.:** | Qualificação.amx | **Volume de injeção:** | 10,000 |
| **Método de análise:** | GC_LC Quantitativo_DefaultMethod.pmx | **Operador de aquis.:** | SISTEMA |
| **Última alteração:** | 2022-05-25 12:21:51-03:00 | | |

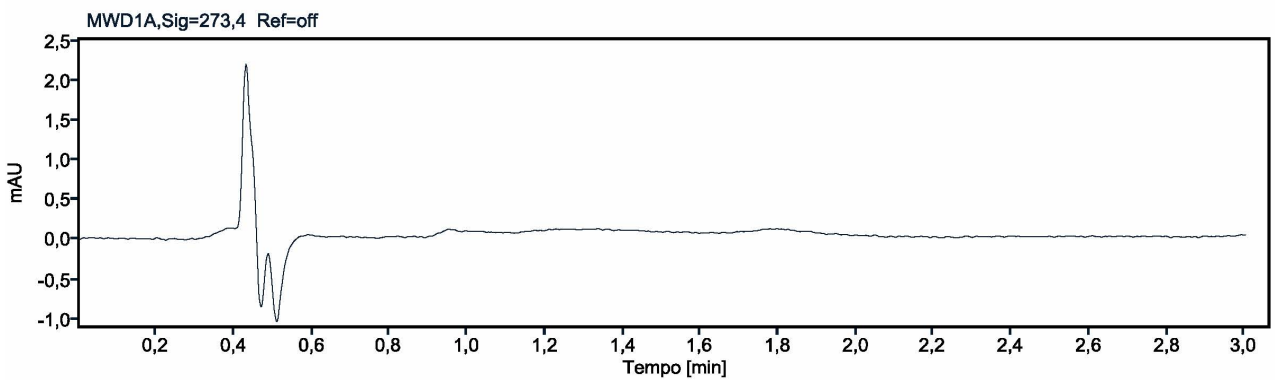



**Sinal:** MWD1A,Sig=273,4 Ref=off

| RT [min] | Tipo | Largura [min] | Área | Altura | Área% | Nome |
|---|---|---|---|---|---|---|
| 1,716 | BV | 0,7624 | 810,7518 | 82,3949 | 100,0000 | |
| | | **Soma** | **810,7518** | | | |

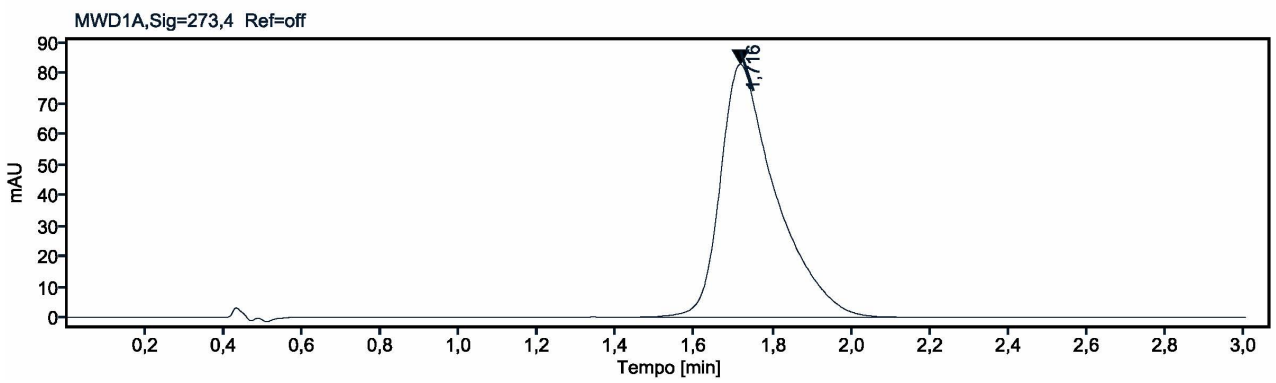
# Relatório de Resumo da Sequência

| | | | |
|---|---|---|---|
| **Arquivo de dados:** | C:\CDSProjects\Qualificação\Results\LC_MWD-2022-05-24 16-24-19-03-00.rslt\Branco 02.dx | | |
| **Nome da amostra:** | Branco 02 | | |
| **Descrição:** | | | |
| **Quantidade de amostra:** | 0,000 | **Tipo de amostra:** | Amostra |
| **Instrumento:** | LC_MWD | **Localização:** | 1 |
| **Data da injeção:** | 2022-05-24 16:41:13-03:00 | **Injeção:** | 1 de 1 |
| **Método de aquis.:** | Qualificação.amx | **Volume de injeção:** | 10,000 |
| **Método de análise:** | GC_LC Quantitativo_DefaultMethod.pmx | **Operador de aquis.:** | SISTEMA |
| **Última alteração:** | 2022-05-25 12:21:51-03:00 | | |



# Relatório de Resumo da Sequência

| | | | |
|---|---|---|---|
| **Arquivo de dados:** | C:\CDSProjects\Qualificação\Results\LC_MWD-2022-05-24 16-24-19-03-00.rslt\PCIN 04.dx | | |
| **Nome da amostra:** | PCIN 04 | | |
| **Descrição:** | | | |
| **Quantidade de amostra:** | 0,000 | **Tipo de amostra:** | Amostra |
| **Instrumento:** | LC_MWD | **Localização:** | 6 |
| **Data da injeção:** | 2022-05-24 16:45:14-03:00 | **Injeção:** | 1 de 1 |
| **Método de aquis.:** | Qualificação.amx | **Volume de injeção:** | 10,000 |
| **Método de análise:** | GC_LC Quantitativo_DefaultMethod.pmx | **Operador de aquis.:** | SISTEMA |
| **Última alteração:** | 2022-05-25 12:21:51-03:00 | | |



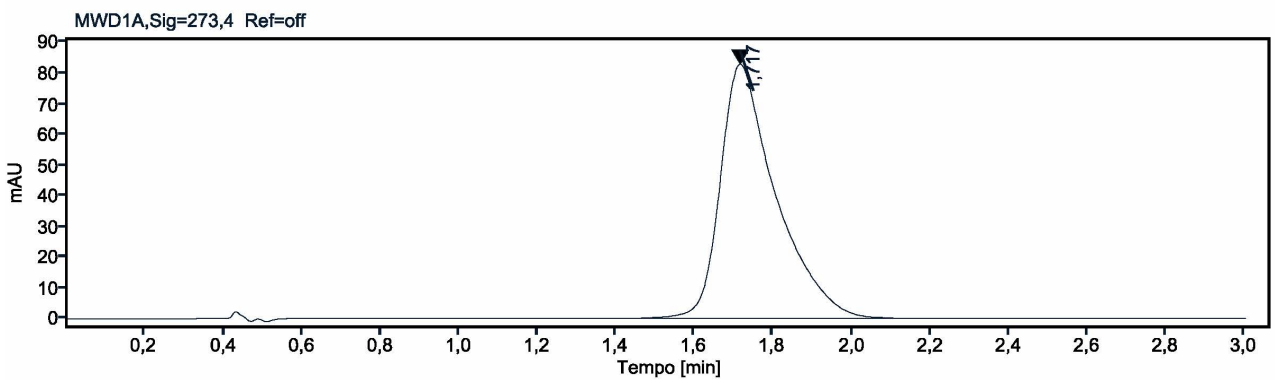

**Sinal:** MWD1A,Sig=273,4 Ref=off

| RT [min] | Tipo | Largura [min] | Área | Altura | Área% | Nome |
|---|---|---|---|---|---|---|
| 1,716 | BV | 0,7783 | 810,3440 | 82,5099 | 100,0000 | |
| | | **Soma** | **810,3440** | | | |

# Relatório de Resumo da Sequência

Agilent

| | | | |
|---|---|---|---|
| **Arquivo de dados:** | C:\CDSProjects\Qualificação\Results\LC_MWD-2022-05-24 16-24-19-03-00.rslt\PCIN 05.dx | | |
| **Nome da amostra:** | PCIN 05 | | |
| **Descrição:** | | | |
| **Quantidade de amostra:** | 0,000 | **Tipo de amostra:** | Amostra |
| **Instrumento:** | LC_MWD | **Localização:** | 6 |
| **Data da injeção:** | 2022-05-24 16:49:12-03:00 | **Injeção:** | 1 de 1 |
| **Método de aquis.:** | Qualificação.amx | **Volume de injeção:** | 10,000 |
| **Método de análise:** | GC_LC Quantitativo_DefaultMethod.pmx | **Operador de aquis.:** | SISTEMA |
| **Última alteração:** | 2022-05-25 12:21:51-03:00 | | |



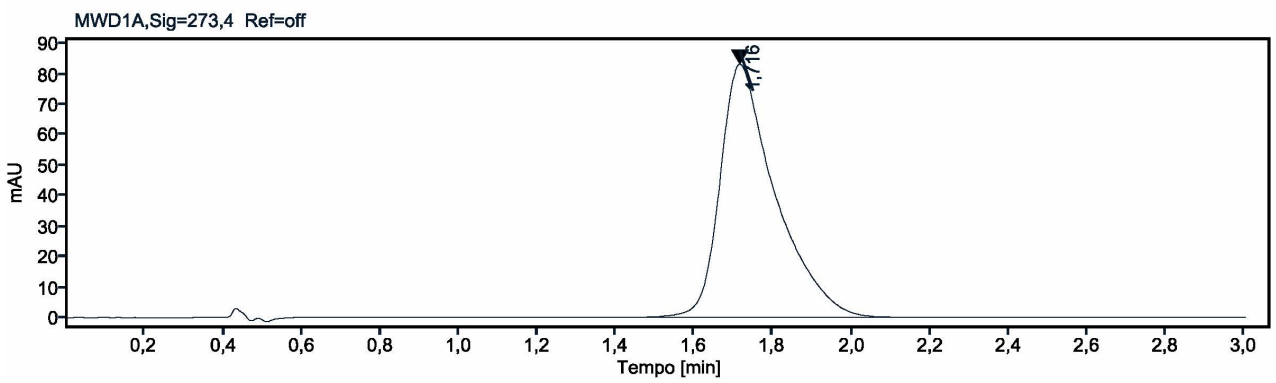

**Sinal:** MWD1A,Sig=273,4 Ref=off

| RT [min] | Tipo | Largura [min] | Área | Altura | Área% | Nome |
|---|---|---|---|---|---|---|
| 1,717 | BB | 0,9333 | 811,2519 | 82,7030 | 100,0000 | |
| | | **Soma** | **811,2519** | | | |

# Relatório de Resumo da Sequência

Agilent

| | | | |
|---|---|---|---|
| **Arquivo de dados:** | C:\CDSProjects\Qualificação\Results\LC_MWD-2022-05-24 16-24-19-03-00.rslt\PCIN 06.dx | | |
| **Nome da amostra:** | PCIN 06 | | |
| **Descrição:** | | | |
| **Quantidade de amostra:** | 0,000 | **Tipo de amostra:** | Amostra |
| **Instrumento:** | LC_MWD | **Localização:** | 6 |
| **Data da injeção:** | 2022-05-24 16:53:17-03:00 | **Injeção:** | 1 de 1 |
| **Método de aquis.:** | Qualificação.amx | **Volume de injeção:** | 10,000 |
| **Método de análise:** | GC_LC Quantitativo_DefaultMethod.pmx | **Operador de aquis.:** | SISTEMA |
| **Última alteração:** | 2022-05-25 12:21:51-03:00 | | |

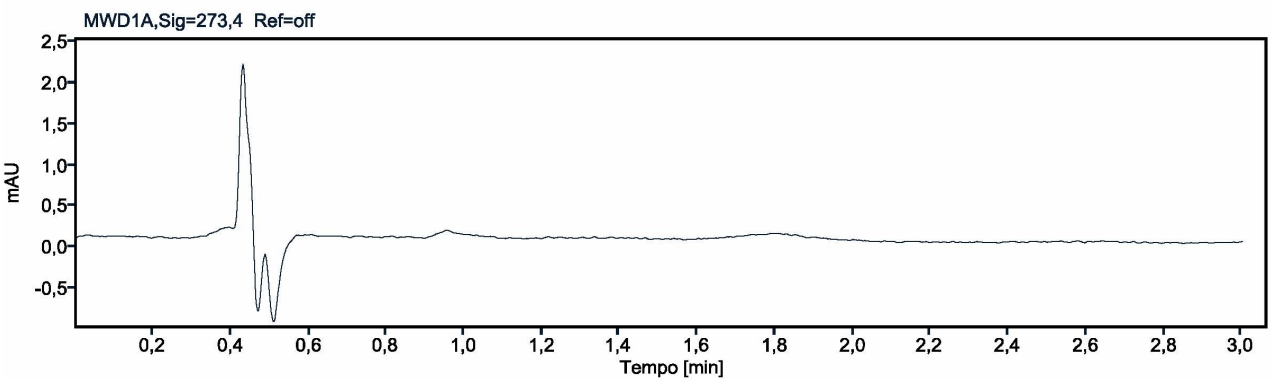



**Sinal:** MWD1A,Sig=273,4 Ref=off

| RT [min] | Tipo | Largura [min] | Área | Altura | Área% | Nome |
|---|---|---|---|---|---|---|
| 1,716 | BB | 0,7883 | 810,8449 | 82,8257 | 100,0000 | |
| | | **Soma** | **810,8449** | | | |

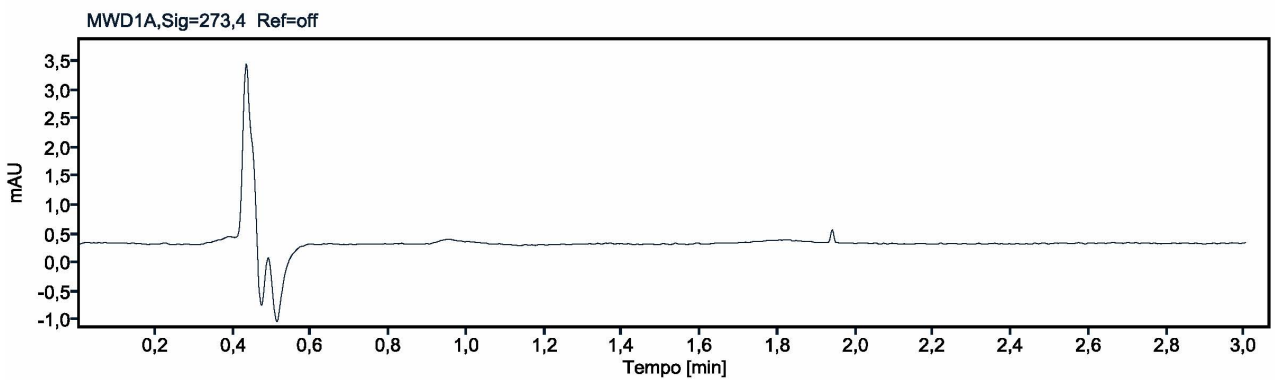
# Relatório de Resumo da Sequência

| | | | |
|---|---|---|---|
| **Arquivo de dados:** | C:\CDSProjects\Qualificação\Results\LC_MWD-2022-05-24 16-24-19-03-00.rslt\Branco 03.dx | | |
| **Nome da amostra:** | Branco 03 | | |
| **Descrição:** | | | |
| **Quantidade de amostra:** | 0,000 | **Tipo de amostra:** | Amostra |
| **Instrumento:** | LC_MWD | **Localização:** | 1 |
| **Data da injeção:** | 2022-05-24 16:58:41-03:00 | **Injeção:** | 1 de 1 |
| **Método de aquis.:** | Qualificação.amx | **Volume de injeção:** | 10,000 |
| **Método de análise:** | GC_LC Quantitativo_DefaultMethod.pmx | **Operador de aquis.:** | SISTEMA |
| **Última alteração:** | 2022-05-25 12:21:51-03:00 | | |



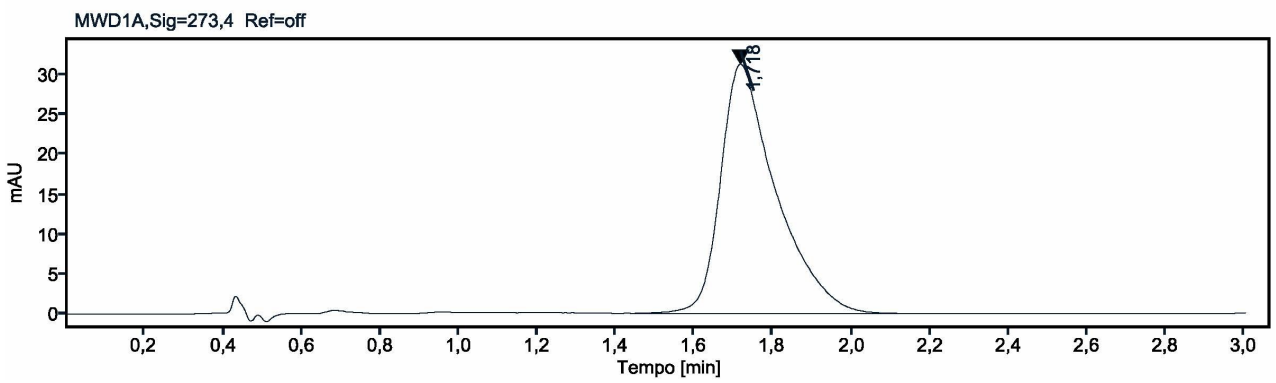
# Relatório de Resumo da Sequência

| | | | |
|---|---|---|---|
| **Arquivo de dados:** | C:\CDSProjects\Qualificação\Results\LC_MWD-2022-05-24 16-26-13-03-00.rslt\LDUV 01.dx | | |
| **Nome da amostra:** | LDUV 01 | | |
| **Descrição:** | | | |
| **Quantidade de amostra:** | 0,000 | **Tipo de amostra:** | Amostra |
| **Instrumento:** | LC_MWD | **Localização:** | 1 |
| **Data da injeção:** | 2022-05-24 17:02:42-03:00 | **Injeção:** | 1 de 1 |
| **Método de aquis.:** | Qualificação.amx | **Volume de injeção:** | 10,000 |
| **Método de análise:** | GC_LC Quantitativo_DefaultMethod.pmx | **Operador de aquis.:** | SISTEMA |
| **Última alteração:** | 2022-05-25 12:21:51-03:00 | | |



# Relatório de Resumo da Sequência

| | | | |
|---|---|---|---|
| **Arquivo de dados:** | C:\CDSProjects\Qualificação\Results\LC_MWD-2022-05-24 16-26-13-03-00.rslt\LDUV 02.dx | | |
| **Nome da amostra:** | LDUV 02 | | |
| **Descrição:** | | | |
| **Quantidade de amostra:** | 0,000 | **Tipo de amostra:** | Amostra |
| **Instrumento:** | LC_MWD | **Localização:** | 2 |
| **Data da injeção:** | 2022-05-24 17:06:40-03:00 | **Injeção:** | 1 de 1 |
| **Método de aquis.:** | Qualificação.amx | **Volume de injeção:** | 10,000 |
| **Método de análise:** | GC_LC Quantitativo_DefaultMethod.pmx | **Operador de aquis.:** | SISTEMA |
| **Última alteração:** | 2022-05-25 12:21:51-03:00 | | |



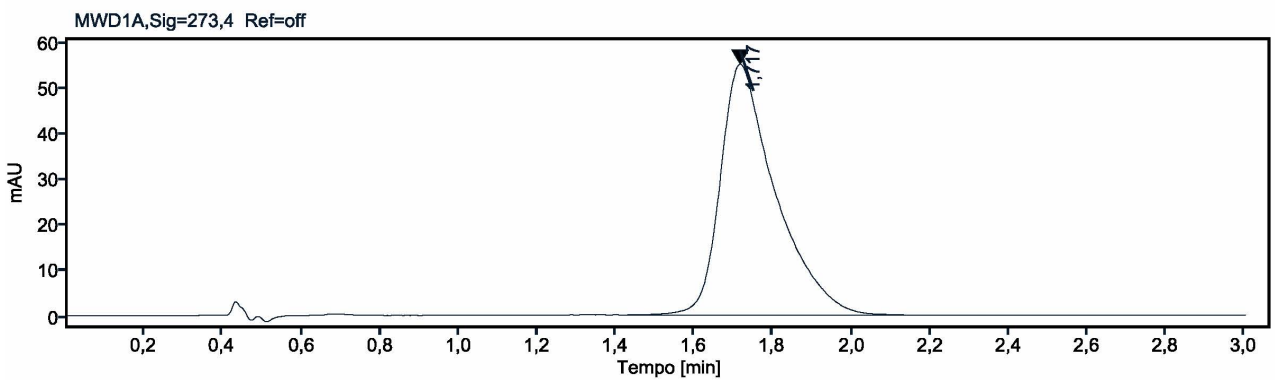

**Sinal:** MWD1A,Sig=273,4 Ref=off

| RT [min] | Tipo | Largura [min] | Área | Altura | Área% | Nome |
|---|---|---|---|---|---|---|
| 1,718 | BV | 0,7389 | 286,7077 | 31,2850 | 100,0000 | |
| | | **Soma** | **286,7077** | | | |

# Relatório de Resumo da Sequência

Agilent

| | | | |
|---|---|---|---|
| **Arquivo de dados:** | C:\CDSProjects\Qualificação\Results\LC_MWD-2022-05-24 16-26-13-03-00.rslt\LDUV 03.dx | | |
| **Nome da amostra:** | LDUV 03 | | |
| **Descrição:** | | | |
| **Quantidade de amostra:** | 0,000 | **Tipo de amostra:** | Amostra |
| **Instrumento:** | LC_MWD | **Localização:** | 3 |
| **Data da injeção:** | 2022-05-24 17:10:33-03:00 | **Injeção:** | 1 de 1 |
| **Método de aquis.:** | Qualificação.amx | **Volume de injeção:** | 10,000 |
| **Método de análise:** | GC_LC Quantitativo_DefaultMethod.pmx | **Operador de aquis.:** | SISTEMA |
| **Última alteração:** | 2022-05-25 12:21:51-03:00 | | |

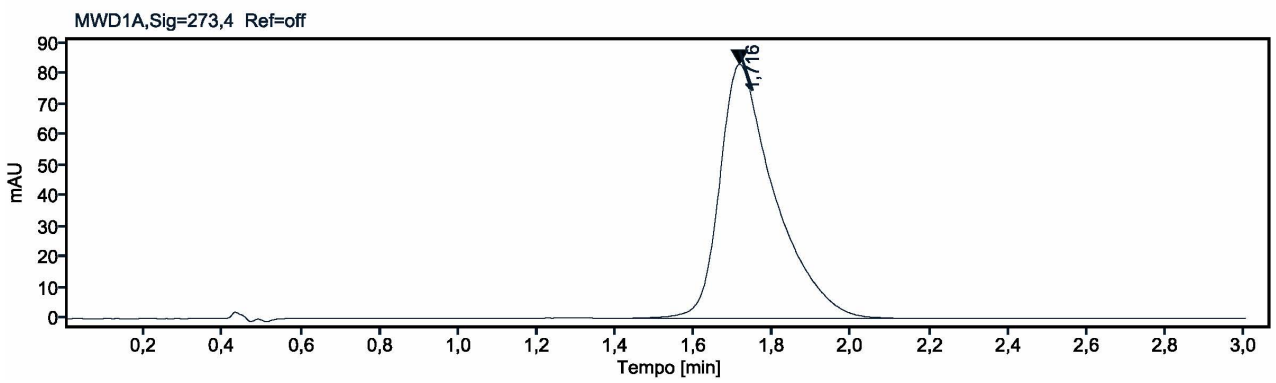



**Sinal:** MWD1A,Sig=273,4 Ref=off

| RT [min] | Tipo | Largura [min] | Área | Altura | Área% | Nome |
|---|---|---|---|---|---|---|
| 1,717 | BV | 0,7382 | 537,3375 | 55,0500 | 100,0000 | |
| | | **Soma** | **537,3375** | | | |

# Relatório de Resumo da Sequência

| | | | |
|---|---|---|---|
| **Arquivo de dados:** | C:\CDSProjects\Qualificação\Results\LC_MWD-2022-05-24 16-26-13-03-00.rslt\LDUV 04.dx | | |
| **Nome da amostra:** | LDUV 04 | | |
| **Descrição:** | | | |
| **Quantidade de amostra:** | 0,000 | **Tipo de amostra:** | Amostra |
| **Instrumento:** | LC_MWD | **Localização:** | 4 |
| **Data da injeção:** | 2022-05-24 17:14:32-03:00 | **Injeção:** | 1 de 1 |
| **Método de aquis.:** | Qualificação.amx | **Volume de injeção:** | 10,000 |
| **Método de análise:** | GC_LC Quantitativo_DefaultMethod.pmx | **Operador de aquis.:** | SISTEMA |
| **Última alteração:** | 2022-05-25 12:21:51-03:00 | | |

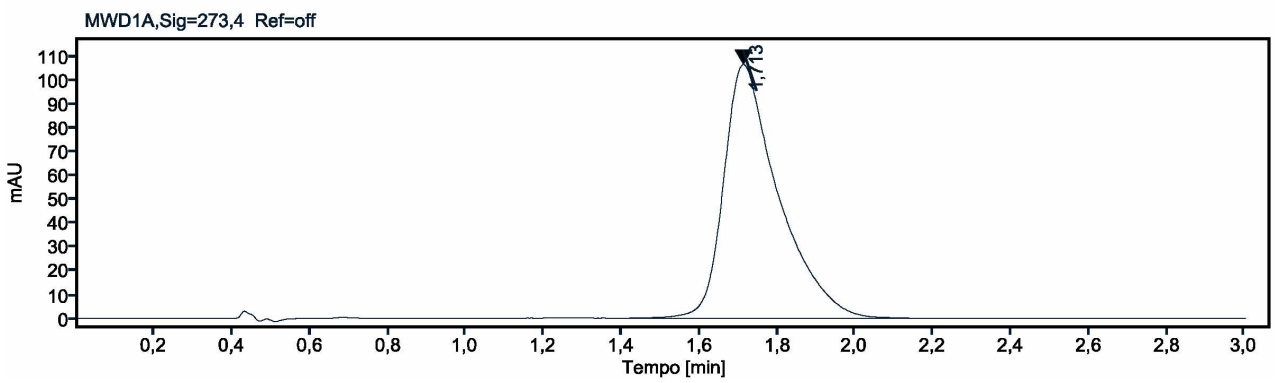



**Sinal:** MWD1A,Sig=273,4 Ref=off

| RT [min] | Tipo | Largura [min] | Área | Altura | Área% | Nome |
|---|---|---|---|---|---|---|
| 1,716 | BV | 0,8175 | 806,4636 | 82,9968 | 100,0000 | |
| | | **Soma** | **806,4636** | | | |

# Relatório de Resumo da Sequência

| | | | |
|---|---|---|---|
| **Arquivo de dados:** | C:\CDSProjects\Qualificação\Results\LC_MWD-2022-05-24 16-26-13-03-00.rslt\LDUV 05.dx | | |
| **Nome da amostra:** | LDUV 05 | | |
| **Descrição:** | | | |
| **Quantidade de amostra:** | 0,000 | **Tipo de amostra:** | Amostra |
| **Instrumento:** | LC_MWD | **Localização:** | 5 |
| **Data da injeção:** | 2022-05-24 17:18:27-03:00 | **Injeção:** | 1 de 1 |
| **Método de aquis.:** | Qualificação.amx | **Volume de injeção:** | 10,000 |
| **Método de análise:** | GC_LC Quantitativo_DefaultMethod.pmx | **Operador de aquis.:** | SISTEMA |
| **Última alteração:** | 2022-05-25 12:21:51-03:00 | | |

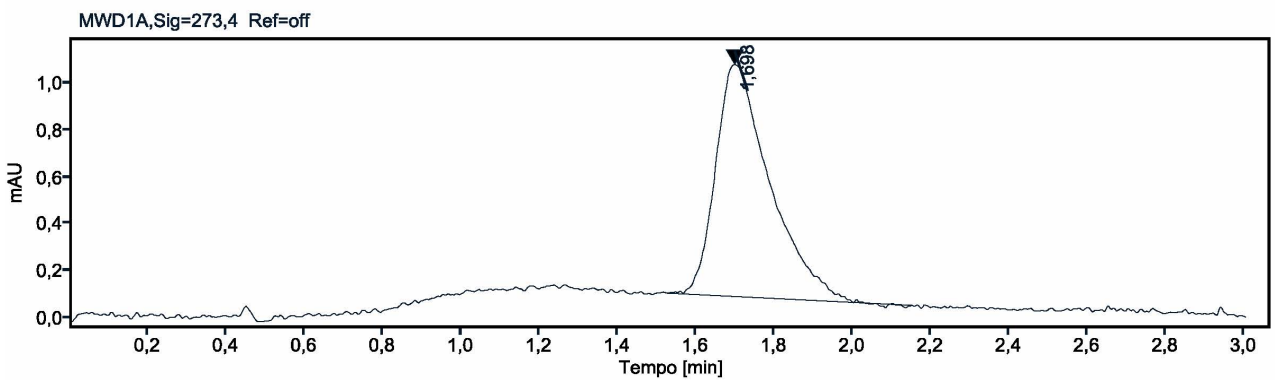



**Sinal:** MWD1A,Sig=273,4 Ref=off

| RT [min] | Tipo | Largura [min] | Área | Altura | Área% | Nome |
|---|---|---|---|---|---|---|
| 1,713 | BV | 0,7768 | 1033,7861 | 106,2083 | 100,0000 | |
| | | **Soma** | **1033,7861** | | | |

# Relatório de Resumo da Sequência

| | | | |
|---|---|---|---|
| **Arquivo de dados:** | C:\CDSProjects\Qualificação\Results\LC_MWD-2022-05-24 16-26-28-03-00.rslt\LIIN 01.dx | | |
| **Nome da amostra:** | LIIN 01 | | |
| **Descrição:** | | | |
| **Quantidade de amostra:** | 0,000 | **Tipo de amostra:** | Amostra |
| **Instrumento:** | LC_MWD | **Localização:** | 6 |
| **Data da injeção:** | 2022-05-24 17:22:34-03:00 | **Injeção:** | 1 de 1 |
| **Método de aquis.:** | Qualificação.amx | **Volume de injeção:** | 0,100 |
| **Método de análise:** | GC_LC Quantitativo_DefaultMethod.pmx | **Operador de aquis.:** | SISTEMA |
| **Última alteração:** | 2022-05-25 12:21:51-03:00 | | |



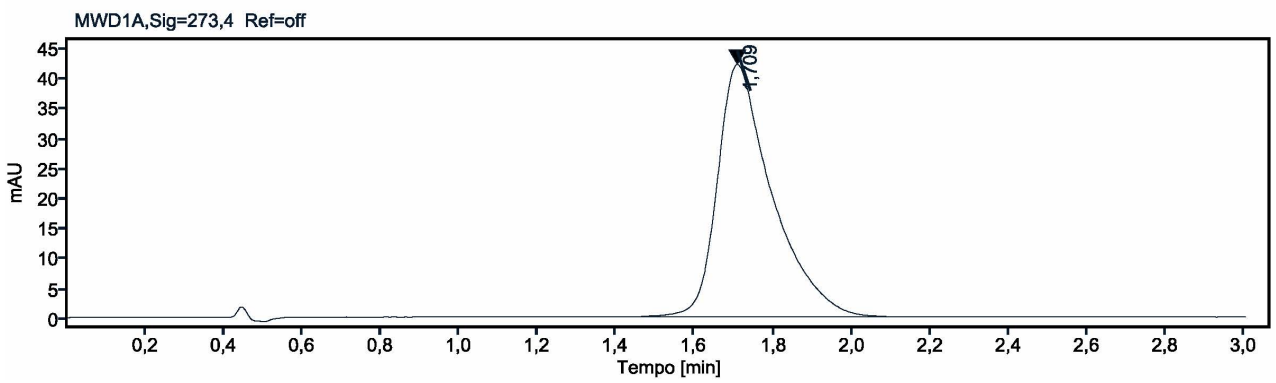

**Sinal:** MWD1A,Sig=273,4 Ref=off

| RT [min] | Tipo | Largura [min] | Área | Altura | Área% | Nome |
|---|---|---|---|---|---|---|
| 1,698 | MM m | 0,6239 | 9,5065 | 0,9874 | 100,0000 | |
| | | **Soma** | **9,5065** | | | |

# Relatório de Resumo da Sequência

Agilent

| | | | |
|---|---|---|---|
| **Arquivo de dados:** | C:\CDSProjects\Qualificação\Results\LC_MWD-2022-05-24 16-26-28-03-00.rslt\LIIN 02.dx | | |
| **Nome da amostra:** | LIIN 02 | | |
| **Descrição:** | | | |
| **Quantidade de amostra:** | 0,000 | **Tipo de amostra:** | Amostra |
| **Instrumento:** | LC_MWD | **Localização:** | 6 |
| **Data da injeção:** | 2022-05-24 17:26:26-03:00 | **Injeção:** | 1 de 1 |
| **Método de aquis.:** | Qualificação.amx | **Volume de injeção:** | 5,000 |
| **Método de análise:** | GC_LC Quantitativo_DefaultMethod.pmx | **Operador de aquis.:** | SISTEMA |
| **Última alteração:** | 2022-05-25 12:21:51-03:00 | | |

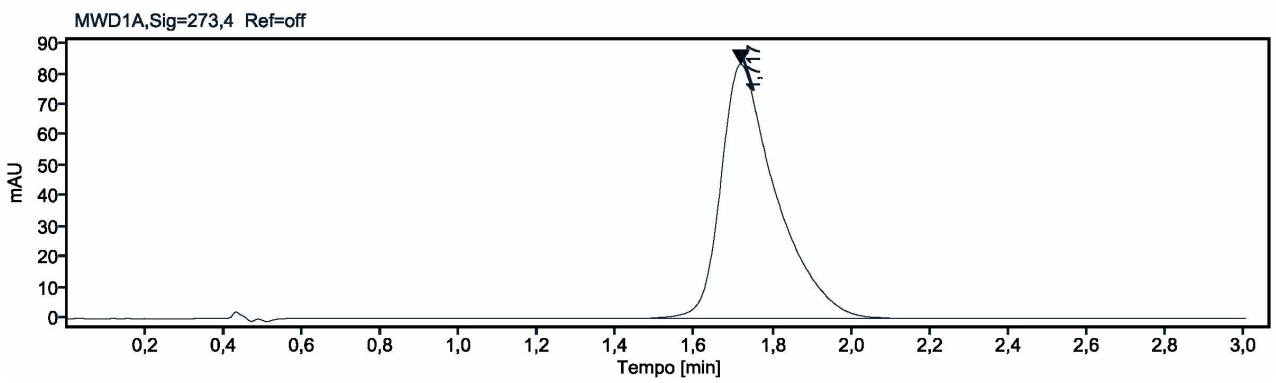



**Sinal:** MWD1A,Sig=273,4 Ref=off

| RT [min] | Tipo | Largura [min] | Área | Altura | Área% | Nome |
|---|---|---|---|---|---|---|
| 1,709 | VV | 0,7039 | 406,7778 | 42,0566 | 100,0000 | |
| | | **Soma** | **406,7778** | | | |

# Relatório de Resumo da Sequência

| | | | |
|---|---|---|---|
| **Arquivo de dados:** | C:\CDSProjects\Qualificação\Results\LC_MWD-2022-05-24 16-26-28-03-00.rslt\LIIN 03.dx | | |
| **Nome da amostra:** | LIIN 03 | | |
| **Descrição:** | | | |
| **Quantidade de amostra:** | 0,000 | **Tipo de amostra:** | Amostra |
| **Instrumento:** | LC_MWD | **Localização:** | 6 |
| **Data da injeção:** | 2022-05-24 17:30:24-03:00 | **Injeção:** | 1 de 1 |
| **Método de aquis.:** | Qualificação.amx | **Volume de injeção:** | 10,000 |
| **Método de análise:** | GC_LC Quantitativo_DefaultMethod.pmx | **Operador de aquis.:** | SISTEMA |
| **Última alteração:** | 2022-05-25 12:21:51-03:00 | | |

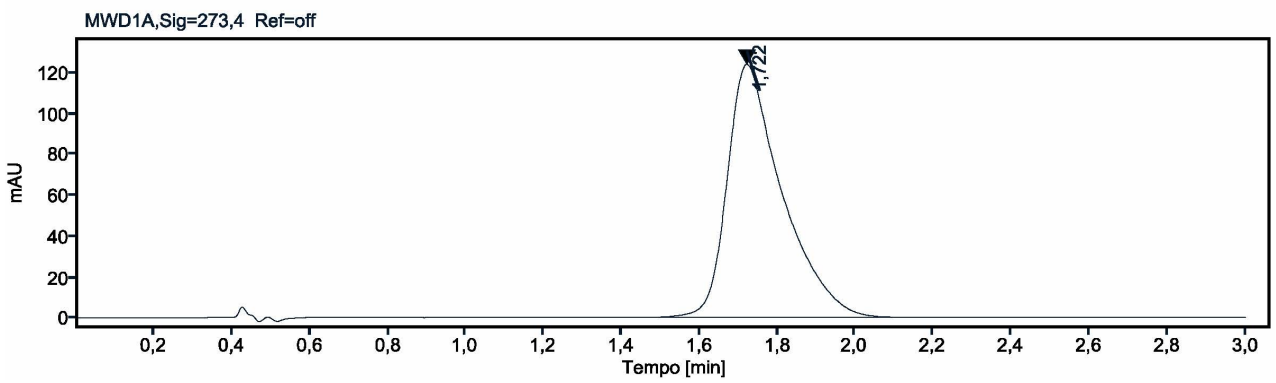



**Sinal:** MWD1A,Sig=273,4 Ref=off

| RT [min] | Tipo | Largura [min] | Área | Altura | Área% | Nome |
|---|---|---|---|---|---|---|
| 1,717 | VB | 0,8257 | 811,5386 | 83,1381 | 100,0000 | |
| | | **Soma** | **811,5386** | | | |

# Relatório de Resumo da Sequência

| | | | |
|---|---|---|---|
| **Arquivo de dados:** | C:\CDSProjects\Qualificação\Results\LC_MWD-2022-05-24 16-26-28-03-00.rslt\LIIN 04.dx | | |
| **Nome da amostra:** | LIIN 04 | | |
| **Descrição:** | | | |
| **Quantidade de amostra:** | 0,000 | **Tipo de amostra:** | Amostra |
| **Instrumento:** | LC_MWD | **Localização:** | 6 |
| **Data da injeção:** | 2022-05-24 17:34:23-03:00 | **Injeção:** | 1 de 1 |
| **Método de aquis.:** | Qualificação.amx | **Volume de injeção:** | 15,000 |
| **Método de análise:** | GC_LC Quantitativo_DefaultMethod.pmx | **Operador de aquis.:** | SISTEMA |
| **Última alteração:** | 2022-05-25 12:21:51-03:00 | | |



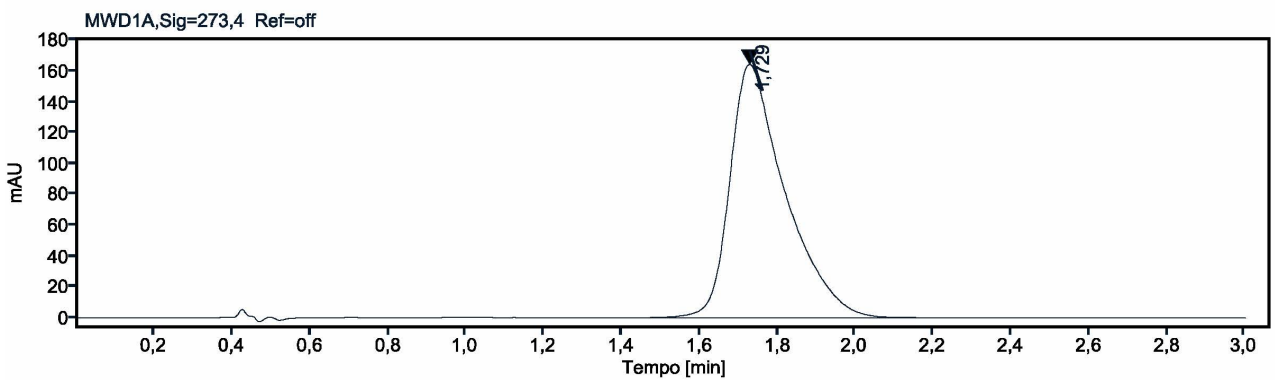

**Sinal:** MWD1A,Sig=273,4 Ref=off

| RT [min] | Tipo | Largura [min] | Área | Altura | Área% | Nome |
|---|---|---|---|---|---|---|
| 1,722 | VV | 0,7638 | 1216,3615 | 123,8043 | 100,0000 | |
| | | **Soma** | **1216,3615** | | | |

# Relatório de Resumo da Sequência

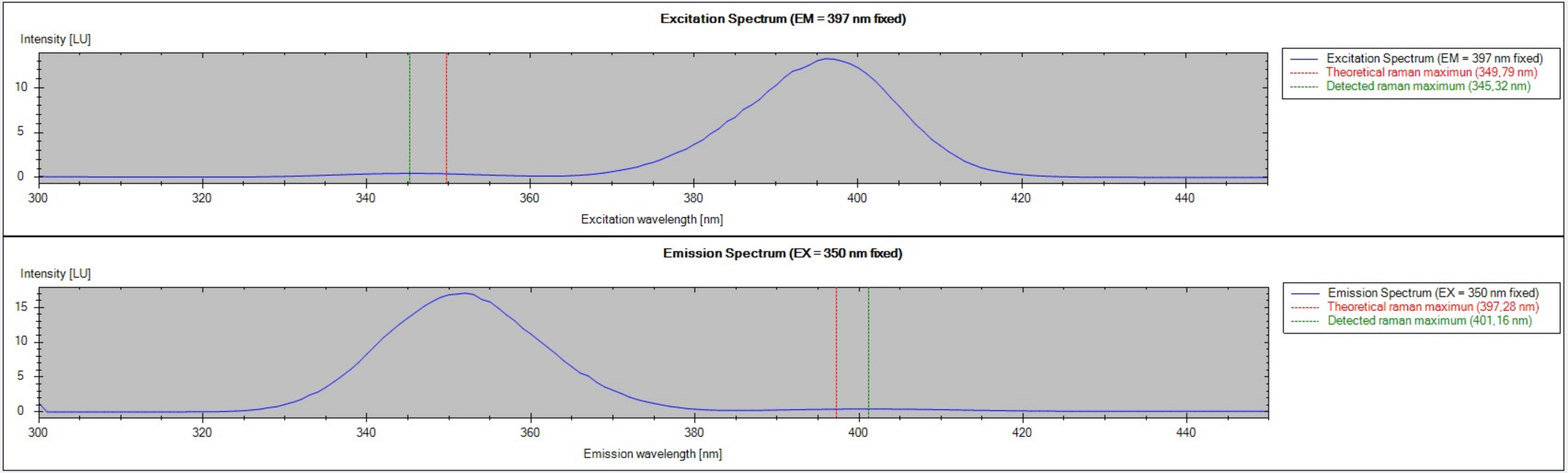
Agilent

| | | | |
|---|---|---|---|
| **Arquivo de dados:** | C:\CDSProjects\Qualificação\Results\LC_MWD-2022-05-24 16-26-28-03-00.rslt\LIIN 05.dx | | |
| **Nome da amostra:** | LIIN 05 | | |
| **Descrição:** | | | |
| **Quantidade de amostra:** | 0,000 | **Tipo de amostra:** | Amostra |
| **Instrumento:** | LC_MWD | **Localização:** | 6 |
| **Data da injeção:** | 2022-05-24 17:38:28-03:00 | **Injeção:** | 1 de 1 |
| **Método de aquis.:** | Qualificação.amx | **Volume de injeção:** | 20,000 |
| **Método de análise:** | GC_LC Quantitativo_DefaultMethod.pmx | **Operador de aquis.:** | SISTEMA |
| **Última alteração:** | 2022-05-25 12:21:51-03:00 | | |



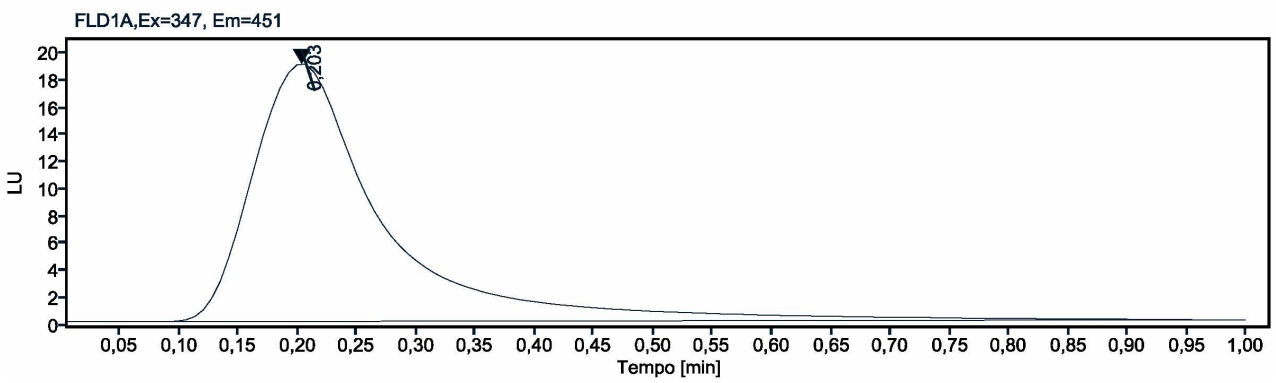

**Sinal:** MWD1A,Sig=273,4 Ref=off

| RT [min] | Tipo | Largura [min] | Área | Altura | Área% | Nome |
|---|---|---|---|---|---|---|
| 1,729 | VB | 0,8590 | 1621,9617 | 164,2331 | 100,0000 | |
| | | **Soma** | **1621,9617** | | | |


Excitation Spectrum (EM = 397 nm fixed)
Intensity [LU]
10
5
0
300
320
340
360
380
400
420
440
Excitation wavelength [nm]
Excitation Spectrum (EM = 397 nm fixed)
Theoretical raman maximun (349,79 nm)
Detected raman maximum (345,32 nm)
Emission Spectrum (EX = 350 nm fixed)
Intensity [LU]
15
10
5
0
300
320
340
360
380
400
420
440
Emission wavelength [nm]
Emission Spectrum (EX = 350 nm fixed)
Theoretical raman maximun (397,28 nm)
Detected raman maximum (401,16 nm)

# Relatório de Resumo da Sequência

| | | | |
|---|---|---|---|
| **Arquivo de dados:** | C:\CDSProjects\Qualificação\Results\LC_FLD-2022-05-25 12-30-42-03-00.rslt\RPFL 01.dx | | |
| **Nome da amostra:** | RPFL 01 | | |
| **Descrição:** | | | |
| **Quantidade de amostra:** | 0,000 | **Tipo de amostra:** | Amostra |
| **Instrumento:** | LC_FLD | **Localização:** | 11 |
| **Data da injeção:** | 2022-05-25 12:33:46-03:00 | **Injeção:** | 1 de 1 |
| **Método de aquis.:** | FL.amx | **Volume de injeção:** | 20,000 |
| **Método de análise:** | GC_LC Quantitativo_DefaultMethod.pmx | **Operador de aquis.:** | SISTEMA |
| **Última alteração:** | 2022-05-25 12:21:51-03:00 | | |

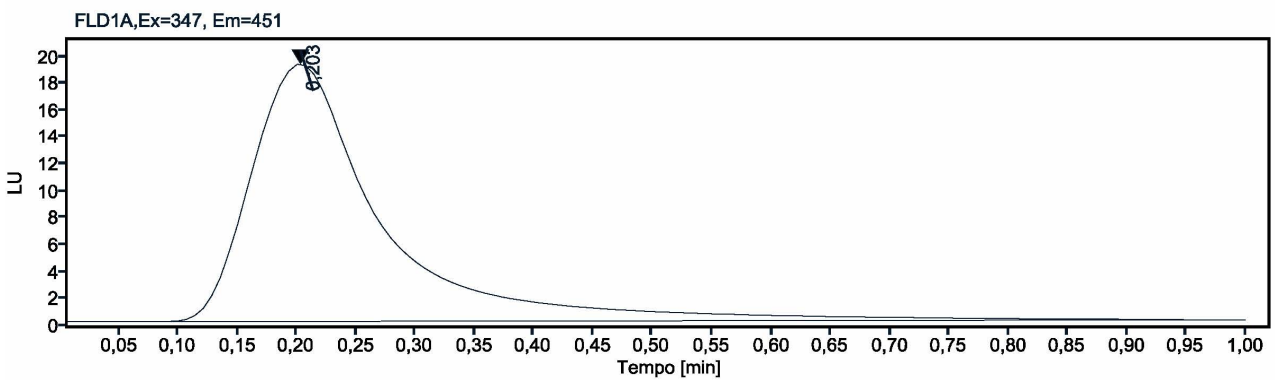



**Sinal:** FLD1A,Ex=347, Em=451

| RT [min] | Tipo | Largura [min] | Área | Altura | Área% | Nome |
|---|---|---|---|---|---|---|
| 0,203 | BBA | 0,9216 | 145,3875 | 18,9609 | 100,0000 | |
| | | **Soma** | **145,3875** | | | |

# Relatório de Resumo da Sequência

| | | | |
|---|---|---|---|
| **Arquivo de dados:** | C:\CDSProjects\Qualificação\Results\LC_FLD-2022-05-25 12-30-42-03-00.rslt\RPFL 02.dx | | |
| **Nome da amostra:** | RPFL 02 | | |
| **Descrição:** | | | |
| **Quantidade de amostra:** | 0,000 | **Tipo de amostra:** | Amostra |
| **Instrumento:** | LC_FLD | **Localização:** | 11 |
| **Data da injeção:** | 2022-05-25 12:35:49-03:00 | **Injeção:** | 1 de 1 |
| **Método de aquis.:** | FL.amx | **Volume de injeção:** | 20,000 |
| **Método de análise:** | GC_LC Quantitativo_DefaultMethod.pmx | **Operador de aquis.:** | SISTEMA |
| **Última alteração:** | 2022-05-25 12:21:51-03:00 | | |

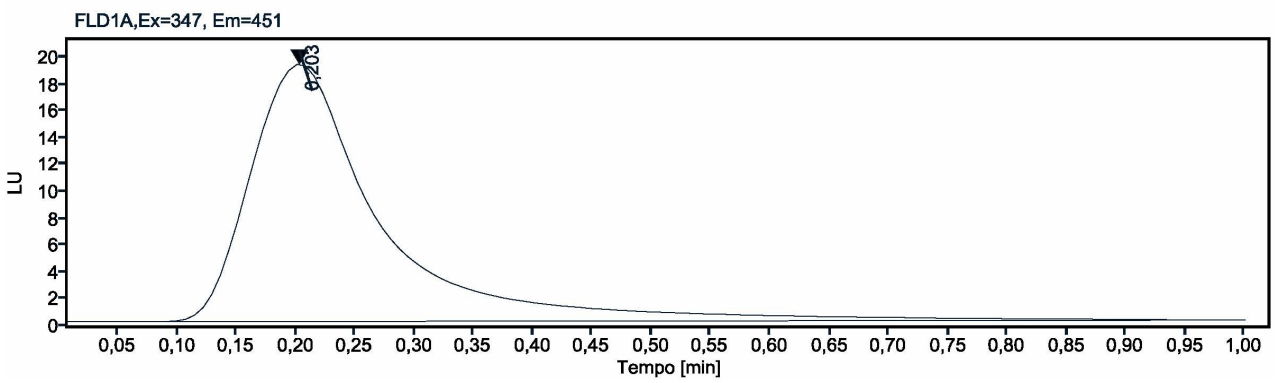



**Sinal:** FLD1A,Ex=347, Em=451

| RT [min] | Tipo | Largura [min] | Área | Altura | Área% | Nome |
|---|---|---|---|---|---|---|
| 0,203 | BBA | 0,9216 | 146,4083 | 19,1591 | 100,0000 | |
| | | **Soma** | **146,4083** | | | |

# Relatório de Resumo da Sequência

| | | | |
|---|---|---|---|
| **Arquivo de dados:** | C:\CDSProjects\Qualificação\Results\LC_FLD-2022-05-25 12-30-42-03-00.rslt\RPFL 03.dx | | |
| **Nome da amostra:** | RPFL 03 | | |
| **Descrição:** | | | |
| **Quantidade de amostra:** | 0,000 | **Tipo de amostra:** | Amostra |
| **Instrumento:** | LC_FLD | **Localização:** | 11 |
| **Data da injeção:** | 2022-05-25 12:37:50-03:00 | **Injeção:** | 1 de 1 |
| **Método de aquis.:** | FL.amx | **Volume de injeção:** | 20,000 |
| **Método de análise:** | GC_LC Quantitativo_DefaultMethod.pmx | **Operador de aquis.:** | SISTEMA |
| **Última alteração:** | 2022-05-25 12:21:51-03:00 | | |

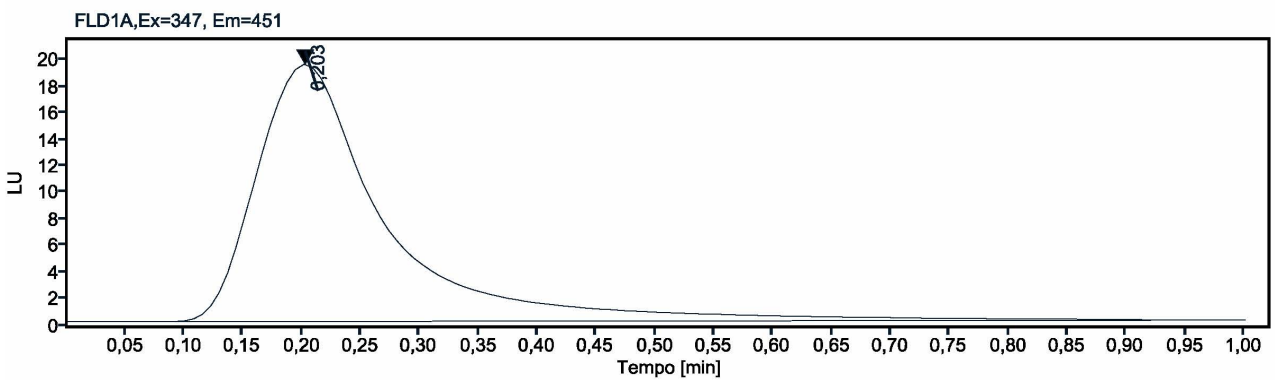



**Sinal:** FLD1A,Ex=347, Em=451

| RT [min] | Tipo | Largura [min] | Área | Altura | Área% | Nome |
|---|---|---|---|---|---|---|
| 0,203 | BBA | 0,9216 | 146,4869 | 19,2531 | 100,0000 | |
| | | **Soma** | **146,4869** | | | |

# Relatório de Resumo da Sequência

| | | | |
|---|---|---|---|
| **Arquivo de dados:** | C:\CDSProjects\Qualificação\Results\LC_FLD-2022-05-25 12-30-42-03-00.rslt\RPFL 04.dx | | |
| **Nome da amostra:** | RPFL 04 | | |
| **Descrição:** | | | |
| **Quantidade de amostra:** | 0,000 | **Tipo de amostra:** | Amostra |
| **Instrumento:** | LC_FLD | **Localização:** | 11 |
| **Data da injeção:** | 2022-05-25 12:39:49-03:00 | **Injeção:** | 1 de 1 |
| **Método de aquis.:** | FL.amx | **Volume de injeção:** | 20,000 |
| **Método de análise:** | GC_LC Quantitativo_DefaultMethod.pmx | **Operador de aquis.:** | SISTEMA |
| **Última alteração:** | 2022-05-25 12:21:51-03:00 | | |

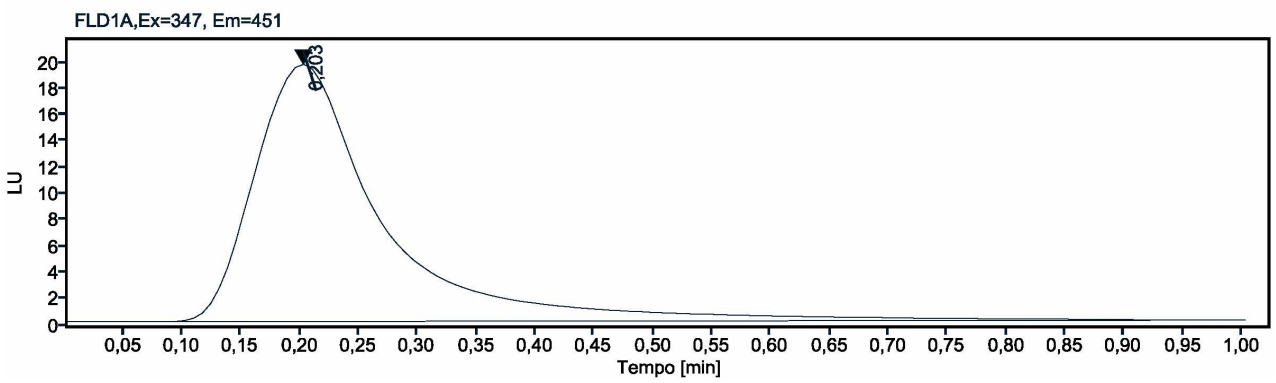



**Sinal:** FLD1A,Ex=347, Em=451

| RT [min] | Tipo | Largura [min] | Área | Altura | Área% | Nome |
|---|---|---|---|---|---|---|
| 0,203 | BBA | 0,9216 | 147,0592 | 19,3847 | 100,0000 | |
| | | **Soma** | **147,0592** | | | |

# Relatório de Resumo da Sequência

| | | | |
|---|---|---|---|
| **Arquivo de dados:** | C:\CDSProjects\Qualificação\Results\LC_FLD-2022-05-25 12-30-42-03-00.rslt\RPFL 05.dx | | |
| **Nome da amostra:** | RPFL 05 | | |
| **Descrição:** | | | |
| **Quantidade de amostra:** | 0,000 | **Tipo de amostra:** | Amostra |
| **Instrumento:** | LC_FLD | **Localização:** | 11 |
| **Data da injeção:** | 2022-05-25 12:41:51-03:00 | **Injeção:** | 1 de 1 |
| **Método de aquis.:** | FL.amx | **Volume de injeção:** | 20,000 |
| **Método de análise:** | GC_LC Quantitativo_DefaultMethod.pmx | **Operador de aquis.:** | SISTEMA |
| **Última alteração:** | 2022-05-25 12:21:51-03:00 | | |

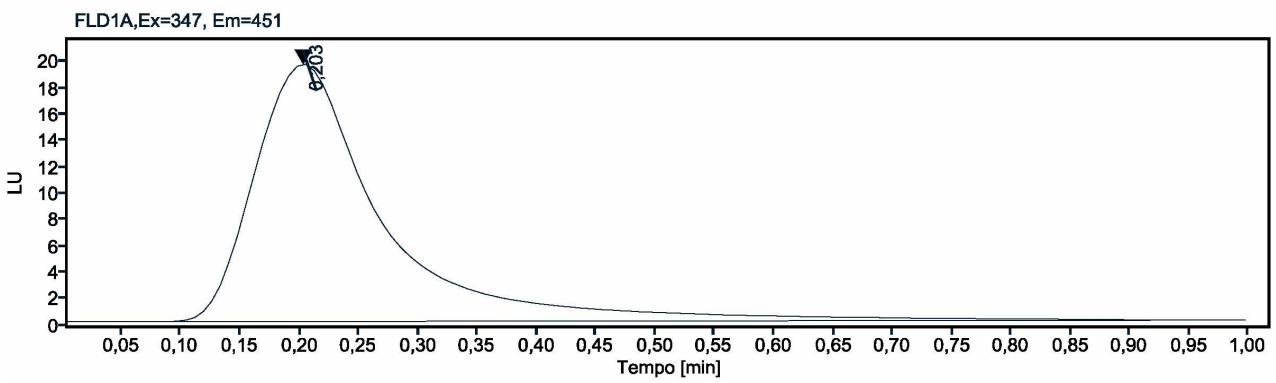



**Sinal:** FLD1A,Ex=347, Em=451

| RT [min] | Tipo | Largura [min] | Área | Altura | Área% | Nome |
|---|---|---|---|---|---|---|
| 0,203 | BBA | 0,9288 | 147,7493 | 19,5774 | 100,0000 | |
| | | **Soma** | **147,7493** | | | |

# Relatório de Resumo da Sequência

| | | | |
|---|---|---|---|
| **Arquivo de dados:** | C:\CDSProjects\Qualificação\Results\LC_FLD-2022-05-25 12-30-42-03-00.rslt\RPFL 06.dx | | |
| **Nome da amostra:** | RPFL 06 | | |
| **Descrição:** | | | |
| **Quantidade de amostra:** | 0,000 | **Tipo de amostra:** | Amostra |
| **Instrumento:** | LC_FLD | **Localização:** | 11 |
| **Data da injeção:** | 2022-05-25 12:43:51-03:00 | **Injeção:** | 1 de 1 |
| **Método de aquis.:** | FL.amx | **Volume de injeção:** | 20,000 |
| **Método de análise:** | GC_LC Quantitativo_DefaultMethod.pmx | **Operador de aquis.:** | SISTEMA |
| **Última alteração:** | 2022-05-25 12:21:51-03:00 | | |



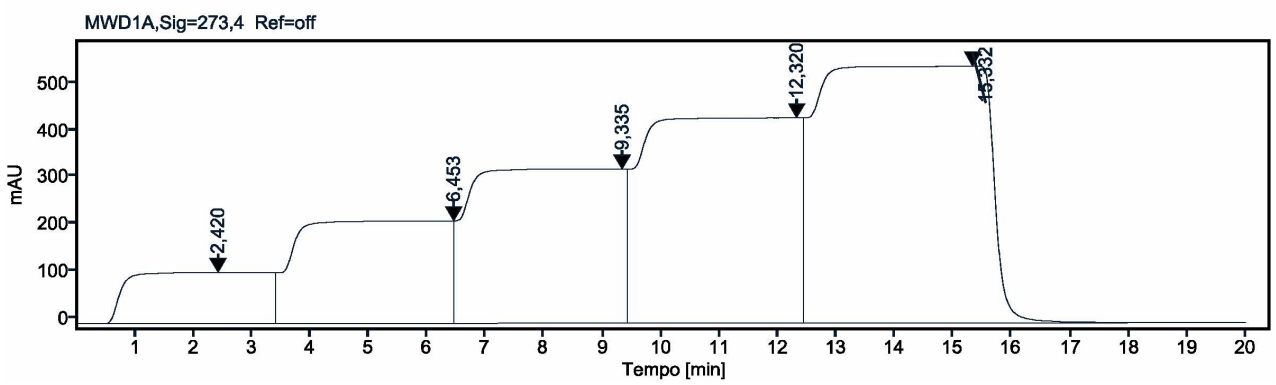

**Sinal:** FLD1A,Ex=347, Em=451

| RT [min] | Tipo | Largura [min] | Área | Altura | Área% | Nome |
|---|---|---|---|---|---|---|
| 0,203 | BBA | 0,9216 | 147,3609 | 19,5889 | 100,0000 | |
| | | **Soma** | **147,3609** | | | |

# Relatório de Resumo da Sequência

Agilent

| | | | |
|---|---|---|---|
| **Arquivo de dados:** | C:\CDSProjects\Qualificação\Results\Gradiente AB2022-05-25 10-24-16-03-00.sirslt\Gradiente AB2022-05-25 10-24-16-03-00.dx | | |
| **Nome da amostra:** | Gradiente AB | | |
| **Descrição:** | | | |
| **Quantidade de amostra:** | 0,000 | **Tipo de amostra:** | Amostra |
| **Instrumento:** | LC_MWD | **Localização:** | |
| **Data da injeção:** | 2022-05-25 10:24:31-03:00 | **Injeção:** | 1 de 1 |
| **Método de aquis.:** | Gradiente AB.amx | **Volume de injeção:** | 0,000 |
| **Método de análise:** | *GC_LC Quantitativo_DefaultMethod.pmx | **Operador de aquis.:** | SISTEMA |
| **Última alteração:** | 2022-05-24 14:53:51-03:00 | | |



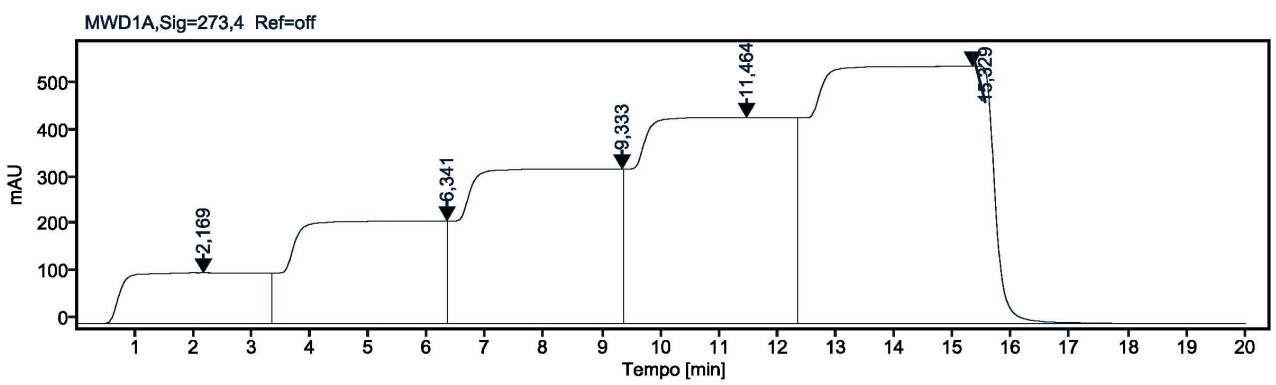

**Sinal:** MWD1A,Sig=273,4 Ref=off

| RT [min] | Tipo | Largura [min] | Área | Altura | Área% | Nome |
|---|---|---|---|---|---|---|
| 2,420 | MM m | 3,1323 | 17253,8705 | 108,4859 | 5,8560 | |
| 6,453 | MM m | 3,0520 | 37621,0806 | 218,2991 | 12,7687 | |
| 9,335 | MM m | 2,9716 | 56550,9120 | 328,0120 | 19,1936 | |
| 12,320 | MM m | 3,0118 | 76847,9111 | 436,7288 | 26,0824 | |
| 15,332 | MM m | 6,1039 | 106360,8371 | 546,1697 | 36,0992 | |
| | | **Soma** | **294634,6114** | | | |

# Relatório de Resumo da Sequência

Agilent

| | | | |
|---|---|---|---|
| **Arquivo de dados:** | C:\CDSProjects\Qualificação\Results\Gradiente CD2022-05-25 10-45-12-03-00.sirslt\Gradiente CD2022-05-25 10-45-12-03-00.dx | | |
| **Nome da amostra:** | Gradiente CD | | |
| **Descrição:** | | | |
| **Quantidade de amostra:** | 0,000 | **Tipo de amostra:** | Amostra |
| **Instrumento:** | LC_MWD | **Localização:** | |
| **Data da injeção:** | 2022-05-25 10:45:26-03:00 | **Injeção:** | 1 de 1 |
| **Método de aquis.:** | Gradiente CD.amx | **Volume de injeção:** | 0,000 |
| **Método de análise:** | *GC_LC Quantitativo_DefaultMethod.pmx | **Operador de aquis.:** | SISTEMA |
| **Última alteração:** | 2022-05-24 14:53:51-03:00 | | |




**Sinal:** MWD1A,Sig=273,4 Ref=off

| RT [min] | Tipo | Largura [min] | Área | Altura | Área% | Nome |
|---|---|---|---|---|---|---|
| 2,169 | MM m | 3,1742 | 16815,4835 | 107,6170 | 5,7155 | |
| 6,341 | MM m | 3,0056 | 36531,7757 | 218,0311 | 12,4170 | |
| 9,333 | MM m | 3,0056 | 56473,3365 | 327,9264 | 19,1950 | |
| 11,464 | MM m | 2,9775 | 75529,1968 | 437,1738 | 25,6720 | |
| 15,329 | MM m | 6,3202 | 108858,7771 | 545,4141 | 37,0005 | |
| | | **Soma** | **294208,5696** | | | |